

APENDICE

**Estructuras cristalinas de compuestos relacionados
con el presente trabajo de tesis**

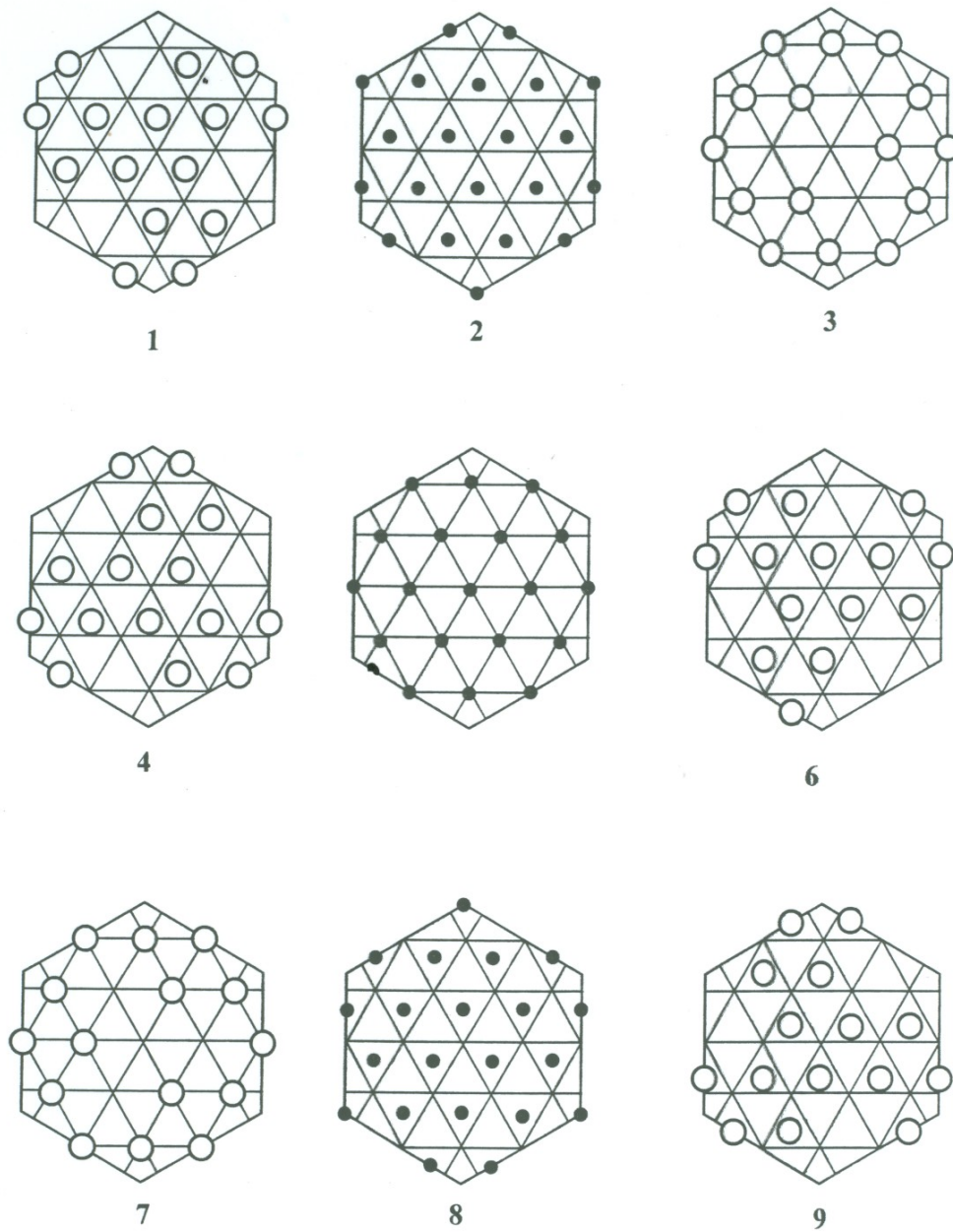


Figura A.1 Estructura cristalina de In_2O_3 (con empaquetamiento compacto).

● : In; ○ : O

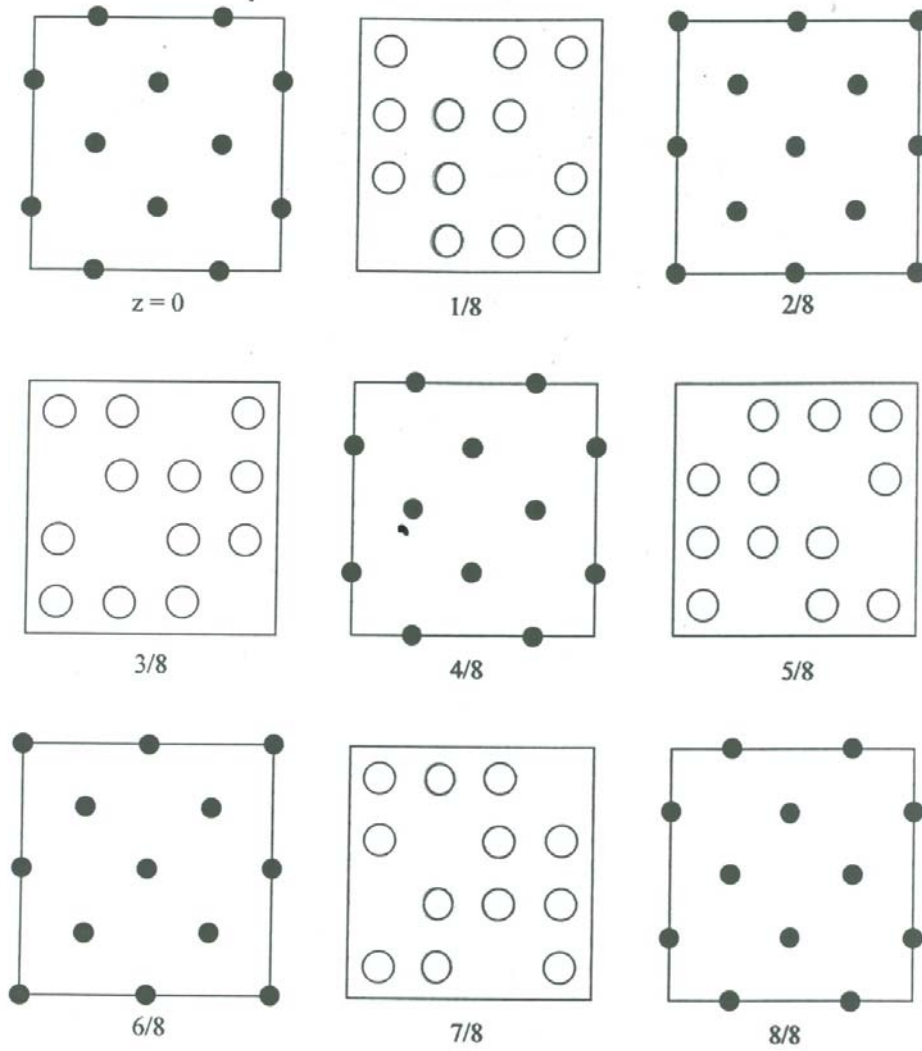


Figura A.2 Estructura cristalina de In_2O_3 .

● : In; ○ : O

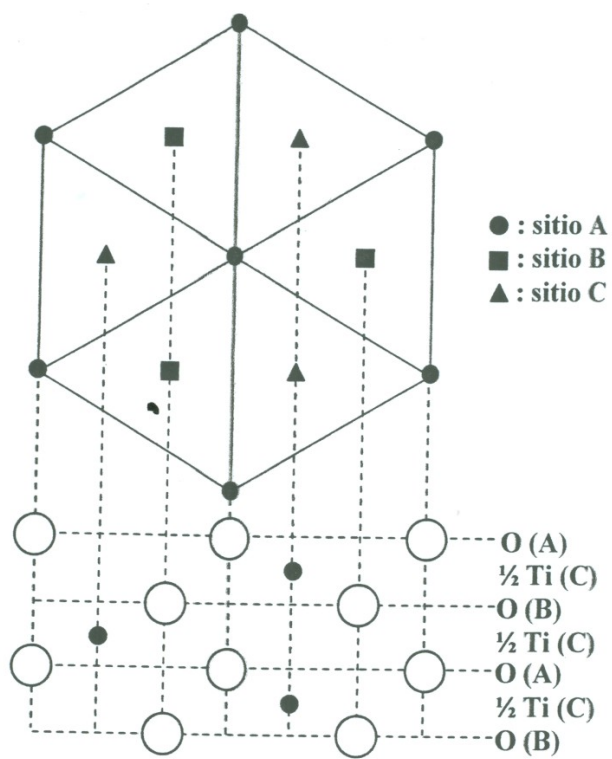


Figura A.3 Estructura cristalina de TiO_2 (rutilo).



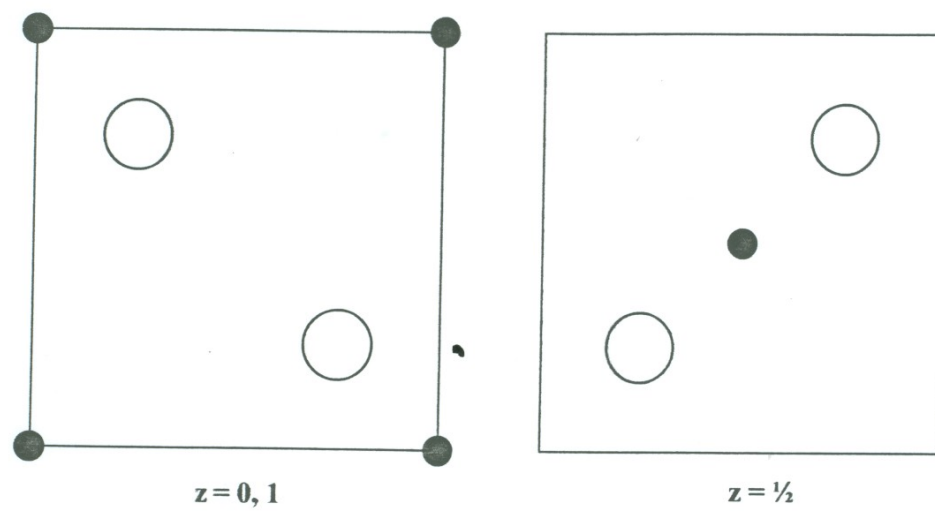


Figura A.3(b). Estructura cristalina de TiO₂ (rutilo).



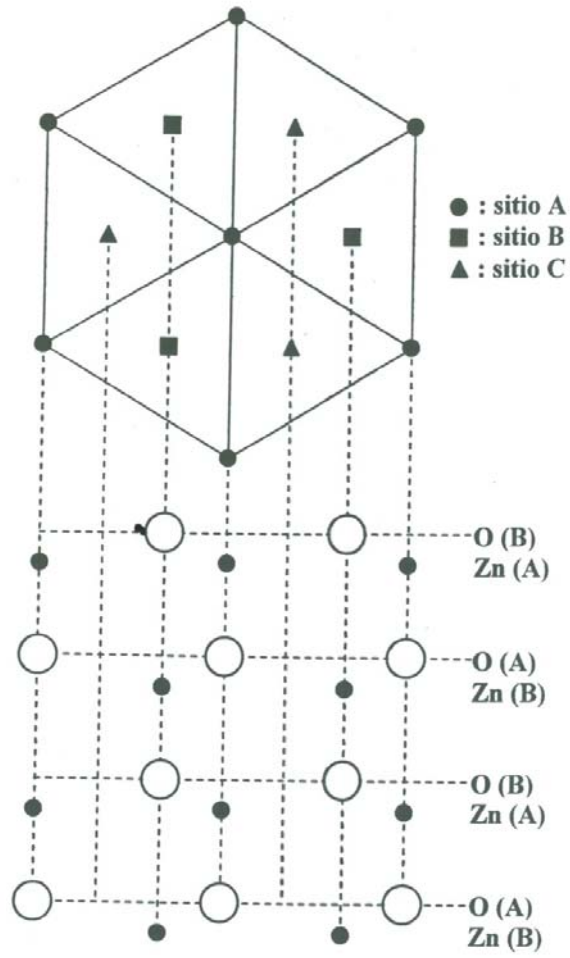


Figura A.4 Estructura cristalina de ZnO (wurtzita).

● : Zn; ○ : O

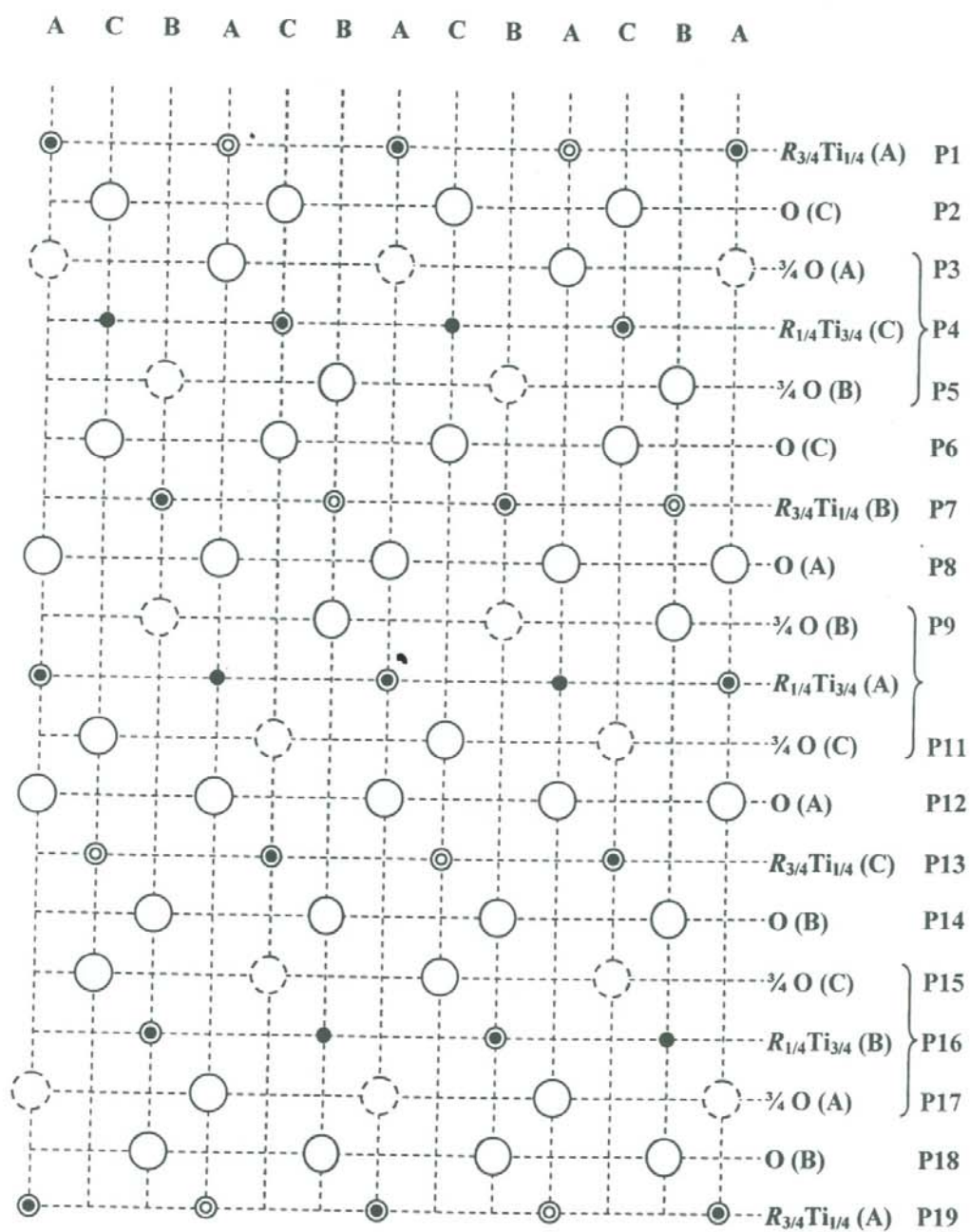


Figura A.5 $R_2Ti_2O_7$ tipo pirocloro.

\odot : R (100%), \odot : ($\frac{1}{2}$ R + $\frac{1}{2}$ Ti), \bullet : Ti (100%), \bigcirc : O (100%), \bigcirc : O (75%)

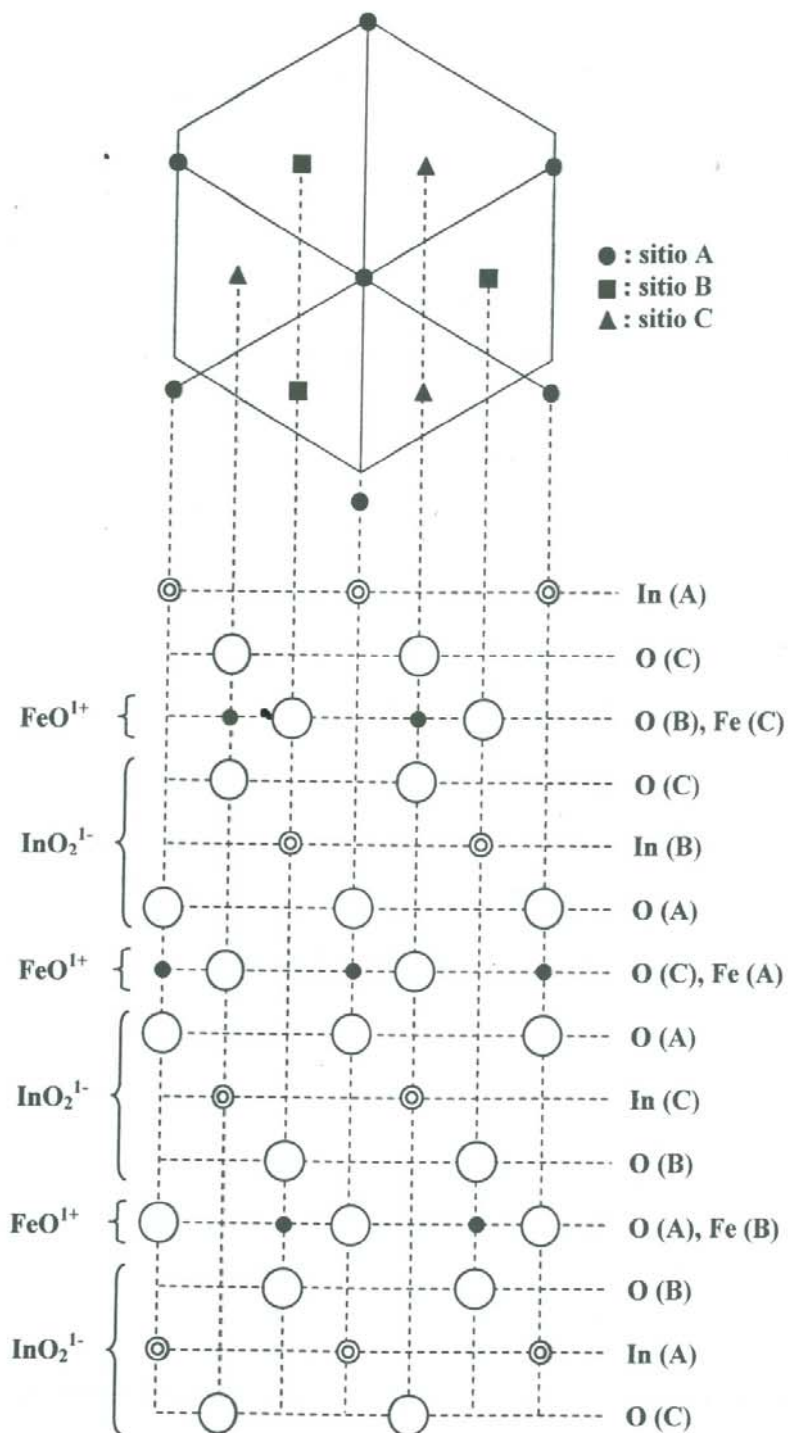


Figura A.6. Estructura de InFeO_3 romboédrico hipotético
 ⊙ : In, ● : Fe, ○ : O.